

УДК 539.194:621.371.166.2

ФИЗИКА

А. А. ВИКТОРОВА, С. А. ЖЕВАКИН

**ВРАЩАТЕЛЬНЫЙ СПЕКТР ДИМЕРА ВОДЯНОГО ПАРА**

(Представлено академиком Я. Б. Зельдовичем 16 II 1970)

В 1966 г. авторы опубликовали расчеты вращательного спектра димера водяного пара и показали, что димеры водяного пара атмосферы вносят существенный вклад в поглощение микрорадиоволн земной атмосферой<sup>(1, 2)</sup>.

Существование димеров водяного пара косвенным экспериментом было показано еще Ионой<sup>(3)</sup> и Зенгером<sup>(4)</sup>, а непосредственным (при помощи масс-спектрометра) — Лекенби и Роббинсом<sup>(5)</sup>. Со временем опубликования статей<sup>(1, 2)</sup> появился также ряд интересных работ<sup>(6–14)</sup>, посвященных экспериментальной проверке и обсуждению результатов<sup>(1, 2)</sup>. Добавим, что в работе<sup>(15)</sup> при давлениях  $2 \div 10$  атм. и температурах  $400 \div 500^\circ\text{K}$  в спектральной области  $600 \div 1000 \text{ см}^{-1}$  было обнаружено избыточное поглощение водяного пара с такой температурной зависимостью, которая свидетельствует о димерной природе этого поглощения (по-видимому, поглощение за счет трансляционно-колебательного спектра димера  $\text{H}_2\text{O}$ ).

Под вращательным спектром димера в настоящей работе и в работе<sup>(20)</sup> понимается спектр линейной модели димера<sup>(19)</sup>, составленной из двух жестких молекул  $\text{H}_2\text{O}$ , жестко, если не говорить об их относительном (внутреннем) вращении вокруг линии водородной связи  $\text{O}-\text{H}\dots\text{O}$ , связанных друг с другом водородной связью. Таким образом, во вращательный спектр, наряду с «чисто» вращательными переходами  $\Delta v = 0$  ( $v$  — крутильное квантовое число для квантования заторможенного внутреннего вращения), включаются и переходы с  $\Delta v \neq 0$ . Колебания же обоих молекул  $\text{H}_2\text{O}$  относительно друг друга вдоль линии водородной связи и изгибные колебания не учитываются (жесткая модель); учет таких колебаний с частотой  $\lambda^{-1} \approx 200 \text{ см}^{-1}$  внес бы изменение в спектр поглощения димера вне рассматриваемого здесь спектрального интервала  $\lambda^{-1} \leq 30 \text{ см}^{-1}$ .

В настоящей работе и в работе<sup>(20)</sup> по сравнению с<sup>(1, 2)</sup> сделаны следующие уточнения.

1. Взамен параболической аппроксимации формы потенциального барьера внутреннего вращения (приближение гармонического осциллятора) использована более правильная косинусоидальная аппроксимация. Полученные в результате волновые функции, описывающие внутреннее вращение, заметно отличаются от волновых функций гармонического осциллятора<sup>(16)</sup>, что привело к уменьшению матричных элементов электрического дипольного момента, усредненных по крутильным состояниям, в 3,25 раза для переходов  $\Delta K = +1$  и, вследствие этого, к уменьшению коэффициента поглощения димеров в  $\sim 2,1$  раза. Энергия внутреннего вращения стала определяться не только крутильным квантовым числом  $v$  (приближение гармонического осциллятора), но и квантовым числом  $K$  проекции момента количества движения димера на ось внутреннего вращения (ось эффективного симметрического волчка). Это значительно усложнило картину вращательного спектра: для переходов  $\Delta K = \pm 1$  вращательные спектры для различных крутильных уровней оказались смешенными относительно друг друга (вращательно-колебательное взаимодействие, как и в работах<sup>(1, 2)</sup>,

здесь не учитывается), в результате чего число спектральных линий сильно возросло (в расчетах <sup>(1, 2)</sup> в диапазоне частот  $\lambda^{-1} = 0 \div 15 \text{ см}^{-1}$  укладывалось 252 спектральных линии, теперь 668). Учет сдвига и расщепления спектральных линий из-за зависимости энергии внутреннего вращения от квантового числа  $K$  при атмосферных условиях на уровне моря сильнее всего оказывается в области частот  $\lambda^{-1} < 7 \text{ см}^{-1}$ . Но и там он меняет коэффициент поглощения димеров  $\gamma_{\text{дим}}$  не более чем на несколько процентов. Наибольшее изменение состоит в небольшом расплывании и уменьшении из-за этого  $Q$ -пика поглощения при  $\lambda^{-1} = 7,07 \text{ см}^{-1}$  на  $\sim 10\%$ .

2. Были учтены переходы между энергетическими термами  $E_{J,K,v}$  с  $\Delta v \neq 0$ ; вклад от таких переходов в коэффициент поглощения  $\gamma_{\text{дим}}$  для рассматриваемой спектральной области  $\lambda^{-1} < 30 \text{ см}^{-1}$  составил, однако, менее 1%.

В настоящей работе и работе <sup>(20)</sup>, как и в работах <sup>(1, 2)</sup> сделана привязка к линии поглощения  $(\lambda^{-1})_{ij} = 49,5 \text{ см}^{-1}$ , видной на спектрограммах работ <sup>(17, 18)</sup> и отождествленной в <sup>(1, 2)</sup> с пиком поглощения димера, обусловленном  $Q$ -ветвью. С этой целью в настоящей работе и работе <sup>(20)</sup> для величины  $E_{J,K}$  (см. работу <sup>(1)</sup>) использовалось выражение

$$E_{J,K} = 0,23J(J+1) + 7,07K^2 \text{ (см}^{-1}\text{)},$$

в котором коэффициент 7,07 подобран так, чтобы привязать один из пиков  $Q$ -ветви к частоте  $\lambda^{-1} = 49,5 \text{ см}^{-1}$ . Отметим, что в первоначально построенной модели димера <sup>(19)</sup> вместо коэффициента 7,07 получился коэффициент 6,75. Замена коэффициента при  $K^2$   $6,75 \rightarrow 7,07$  мало влияет на коэффициент поглощения  $\gamma_{\text{дим}}$ ; это влияние сводится к незначительному сдвигу пиков  $Q$ -ветви  $K = 0, 1, 2, \dots$  соответственно на  $0,32; 0,96; 1,60, \dots \text{ см}^{-1}$  в сторону больших частот. Заметим, что Гебби и Бурроу <sup>(7)</sup> вообще не обнаружили в лаборатории какого-либо пика поглощения водяного пара вблизи  $\lambda^{-1} = 49,5 \text{ см}^{-1}$ . Однако в работах <sup>(21-23)</sup> при высотных наблюдениях солнечного излучения обнаружены теллурические линии  $\lambda^{-1} = 21,20; 35,35; 49,70 \text{ см}^{-1}$ ; все они удовлетворяют соотношению  $\lambda^{-1} = 7,07(2K+1) \text{ см}^{-1}$ ,  $K = 0, 1, 2, \dots$ , и должны поэтому быть отождествлены с  $Q$ -пиками димера водяного пара. Таким образом, с наблюдениями согласуется коэффициент 7,07, а не коэффициент 6,75.

В предположении, что эффективное сечение соударений димера с окружающими молекулами не зависит от относительной скорости  $V$ , для частоты соударений  $v_{ef}$  с окружающими молекулами концентрации  $C$  имеем  $v_{ef} \sim CV \sim \frac{p}{T} \sqrt{T} = \frac{p}{\sqrt{V}} T$ . Тогда полуширина спектральной линии димера равна

$$\left(\frac{\Delta v}{c}\right)_{ij} = \left(\frac{\Delta v}{c}\right)_{ij}^0 \sqrt{\frac{293}{T}} \frac{P}{760},$$

где  $(\Delta v / c)_{ij}^0$  — значение полуширины при температуре  $T = 293^\circ \text{ К}$ , давлении  $p = 760 \text{ мм рт. ст.}$

Расчет коэффициента поглощения димеров, как в <sup>(2)</sup>, выполнялся по формуле \*

$$\gamma_{\text{дим}} = \left[ \frac{\partial \delta}{\text{км}} \right] = 10^4 \cdot \log_{10} e \frac{32\pi^2 N}{3h c G(T)} \sum_{ij} |\mu_{ij}|^2 \frac{1}{\lambda_{ij}} \times \\ \times |e^{-E_j/kT} - e^{-E_i/kT}| \frac{(\Delta v/c)_{ij}^0 \sqrt{293/T} p / 760}{[(1/\lambda_{ij})^2 - (1/\lambda)^2]^2 + 4 [(\Delta v/c)_{ij}^0 \sqrt{293/T} p / 760]^2 (1/\lambda)^2}. \quad (1)$$

\* В работах <sup>(1, 2)</sup> в этой формуле фактор  $\sqrt{293/T}$  был неправильно напечатан в виде  $\sqrt{T/293}$ .

Здесь  $N = 10^{-6} \rho_{\text{дим}} N_0 / \eta$  — число молекул димера водяного пара в 1 см<sup>3</sup>, причем  $N_0 = 6,025 \cdot 10^{23}$  — число Авогадро,  $\eta = 36$  — молекулярный вес димера,  $\rho_{\text{дим}}$  — концентрация димеров в г/м<sup>3</sup>. Закон действующих масс при энергии связи димера  $\varepsilon$  ккал/моль для модели (19) и колебательной статистической суммы димера  $\Pi(1 - e^{-hv_i/kT})^{-1}$ , вычисленной в предположении существования двух колебаний с частотами  $\lambda^{-1} = 215$  см<sup>-1</sup> и 500 см<sup>-1</sup>, дает

$$\rho_{\text{дим}} [\text{г/м}^3] = 0,00119 T^{-1,7} e^{(502,9e-81,4)/T} (\rho [\text{г/м}^3])^2. \quad (2)$$

На рис. 1 изображен коэффициент поглощения димеров  $\gamma_{\text{дим}}$  при концентрации димеров  $\rho_{\text{дим}} = 0,0122$  г/м<sup>3</sup> и с одинаковыми полуширинами

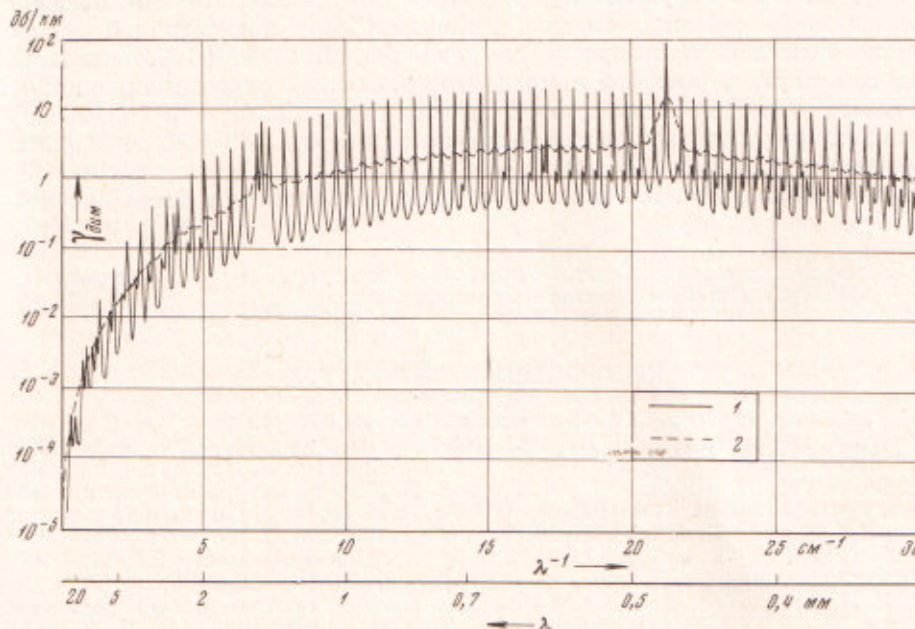


Рис. 1. Зависимость  $\gamma_{\text{дим}}$  от  $\lambda^{-1}$ .  $T = 293^\circ \text{К}$ ,  $p = 760$  мм рт. ст.,  $\rho = 7,5$  г/м<sup>3</sup>,  $\varepsilon = 4,8$  ккал/моль. 1 —  $(\Delta v / c)_{ij} = 0,02$  см<sup>-1</sup>; 2 —  $(\Delta v / c)_{ij} = 0,2$  см<sup>-1</sup>

спектральных линий димера  $(\Delta v / c)_{ij} = 0,2; 0,02$  см<sup>-1</sup> (графики для значений  $(\Delta v / c)_{ij} = 0,4; 0,8; 1,6$  см<sup>-1</sup> см. рис. 1, работы (20)). Вычисления выполнялись по формуле (1) при  $T = 293^\circ \text{К}$ ,  $p = 760$  мм рт. ст. Принятая концентрация димеров  $\rho_{\text{дим}} = 0,0122$  г/м<sup>3</sup> получается согласно формуле (2) при  $T = 293^\circ \text{К}$ , энергии связи димера  $\varepsilon = 4,8$  ккал/моль и абсолютной влажности  $\rho = 7,5$  г/м<sup>3</sup> (в (1, 2) энергия связи димера полагалась равной  $\varepsilon = 5,2$  ккал/моль, что при тех же условиях давало большую концентрацию димеров  $\rho_{\text{дим}} = 0,022$  г/м<sup>3</sup>).

Видно, что при  $(\Delta v / c)_{ij} = 0,2$  см<sup>-1</sup> спектр димера начинает разрешаться; при  $(\Delta v / c)_{ij} = 0,02$  см<sup>-1</sup> разрешение достигает высокой степени.

Заметим, что при  $T = 293^\circ \text{К}$ ,  $p = 760$  мм рт. ст. ширины спектральных линий димера в воздухе вероятнее всего порядка 0,8 см<sup>-1</sup> (см. (20)). Поэтому в действительности графики рис. 1, построенные для  $(\Delta v / c)_{ij} = 0,2$  и 0,02 см<sup>-1</sup>, отвечают низким давлениям воздуха.

Если принять (по аналогии с мономерами), что эффективное оптическое сечение димера для соударений с молекулой H<sub>2</sub>O в 5 раз больше такового для соударений с молекулами воздуха (O<sub>2</sub> и N<sub>2</sub>), то после полного удаления сухой части воздуха при фиксированной влажности  $\rho = 7,5$  г/м<sup>3</sup> (отвечающей 1% парциального давления водяного пара для воздуха при обычном давлении 760 мм рт. ст.) в оставшемся чистом водя-

ном паре с давлением 7,6 мм рт. ст. полуширина спектральной линии димера уменьшится в  $100/5 = 20$  раз. В таком случае она станет равной  $(\Delta v/c)_0 = 0,04 \text{ см}^{-1}$ , а не  $0,02 \text{ см}^{-1}$ , если в воздухе при  $T = 293^\circ \text{K}$ ,  $p = 760 \text{ мм рт. ст.}$  она составляла  $(\Delta v/c)_0 = 0,8 \text{ см}^{-1}$ . Это обстоятельство, понятно, не снижает значения графиков рис. 1, позволяющих получать значения  $\gamma_{\text{дим}}$  при соответствующем пересчете к рассматриваемым условиям эксперимента.

Отметим, что выполненные Гарри, Бурроу и Гебби (13) измерения поглощения водяного пара при давлении 4 мм рт. ст. в многоходовой вакуумной кювете Уайта с разрешением  $\sim 0,5 \text{ см}^{-1}$ , хотя и не позволили, естественно, разрешить тонкую структуру спектра поглощения димеров (см. рис. 1), однако обнаружили при  $\lambda^{-1} \approx 7,2 \text{ см}^{-1}$  явственный пик поглощения шириной  $\sim 1 \text{ см}^{-1}$  (см. рис. 1 работы (13)) с квадратичной зависимостью величины поглощения от давления. Последнее обстоятельство свидетельствует о димерной природе обнаруженного пика поглощения; его положение и ширина согласуются с данными рис. 1. Авторы (13) обнаружили и второй пик поглощения  $Q$ -ветвью на частоте  $\lambda^{-1} = 22 \text{ см}^{-1}$ , однако неуверенно.

Мы благодарим Г. Г. Рогачеву за программирование и вычисления на БЭСМ-4.

Научно-исследовательский радиофизический институт  
при Горьковском государственном университете  
им. Н. И. Лобачевского

Поступило  
12 II 1970

#### ЦИТИРОВАННАЯ ЛИТЕРАТУРА

- <sup>1</sup> А. А. Викторова, С. А. Жевакин, ДАН, **171**, 833 (1966). <sup>2</sup> А. А. Викторова, С. А. Жевакин, ДАН, **171**, 1061 (1966). <sup>3</sup> М. Jona, Phys. Zs., **20**, 14 (1918).
- <sup>4</sup> D. Sänger, Phys. Zs., **31**, 306 (1930). <sup>5</sup> R. Leckebury, E. Robbins, Proc. Roy. Soc., Ser. A, **291**, 389 (1966). <sup>6</sup> В. Я. Рядов, Н. И. Фурашов, Изв. высш. учебн. завед., Радиофизика, **11**, 1138 (1968). <sup>7</sup> Н. А. Gebbie, W. J. Burroughs, Nature, **217**, 1241 (1968). <sup>8</sup> Н. А. Gebbie, J. Chamberlain, W. J. Burroughs, Nature, **220**, 893 (1968). <sup>9</sup> Н. А. Gebbie, W. J. Burroughs et al., Nature, **221**, 143 (1969).
- <sup>10</sup> Ю. И. Малышенко, Радиотехника и электронника, № 3, 522 (1969). <sup>11</sup> В. Я. Рядов, Н. И. Фурашов, Докл. на IX Всесоюз. конф. по распространению радиоволн, Харьков, 23—28 VI 1969 г. Авторефераты докладов конференции, ч. II, Харьков, 1969, стр. 130. <sup>12</sup> W. J. Burroughs, R. G. Jones, Н. А. Gebbie, J.Q.S.R.T., **9**, 809 (1969). <sup>13</sup> J. E. Harries, W. J. Burroughs, Н. А. Gebbie, J.Q.S.R.T., **9**, 799 (1969). <sup>14</sup> J. R. Birch, W. J. Burroughs, R. J. Emery, Infrared Physics, **9**, 75 (1969). <sup>15</sup> R. Varanasi, S. Chou, S. S. Penner, J.Q.S.R.T., **8**, 1537 (1968).
- <sup>16</sup> А. А. Викторова, С. А. Жевакин, Г. М. Жислини, Оптика и спектроскопия, **28**, 1106 (1970). <sup>17</sup> Н. Г. Ярославский, А. Е. Станевич, Там же, **7**, 626 (1959).
- <sup>18</sup> Н. И. Фурашов, Там же, **20**, 427 (1966). <sup>19</sup> А. А. Викторова, Изв. высш. учебн. завед., Радиофизика, **7**, 415 (1964). <sup>20</sup> А. А. Викторова, С. А. Жевакин, ДАН, **194**, № 3 (1970). <sup>21</sup> R. M. MacQueen, J. A. Eddy, P. J. Léna, Nature, **220**, 1112 (1968). <sup>22</sup> J. A. Eddy, P. J. Léna, R. M. MacQueen, J. Atmosph. Sci., **26**, 1318 (1969). <sup>23</sup> Y. Biraud, J. Gay et al., Astronomy and Astrophysics, **2**, 413 (1969).